

## 階層型ネットワーク TESH における デッドロックフリー・ルーティング

三浦康之<sup>†</sup> 堀口進<sup>†</sup> Vijay K. Jain<sup>††</sup>

階層型相互結合網の一種である TESH (Tori connected mESHes) は、下位階層にメッシュ、上位階層にトーラスを用いることにより、プロセッサのリンク数と直径を小さくし、通信の局所性を利用したネットワークである。TESH を用いたマルチプロセッサシステムでワームホールルーティングを行うには仮想チャンネルが必要である。このとき必要な仮想チャンネルの数は、基本モジュール間リンクの配置により異なる。したがって、少ない仮想チャンネルでワームホールルーティングを実現するには、適切な方法によるリンクの配置が必要となる。本稿では、ネットワーク距離および仮想チャンネル数を最小にするために基本モジュール間リンクを一列に配置する方法を提案する。また、シミュレーションにより TESH における動的通信性能の評価を行う。その結果、TESH のネットワーク性能が、同サイズのメッシュに比べて優れていることを明らかにする。

### Deadlock-free Routing for Hierarchical Interconnection Network: TESH

YASUYUKI MIURA,<sup>†</sup> SUSUMU HORIGUCHI<sup>†</sup> and VIJAY K. JAIN<sup>††</sup>

A hierarchical interconnection network: TESH (Tori connected mESHes) consists of torus interconnection between meshes as basic module (BM), and can utilize communication locality. To implement a wormhole routing on TESH, an appropriate method is required to allocate virtual links on a basic module, since the number of virtual channels depend on allocation policy of inter-BM links. This paper addresses a link allocation policy that minimizes the network diameter and the number of virtual channels. Dynamic communication performances are simulated for TESH and mesh networks. It is seen that the dynamic communication performance of TESH is better than mesh interconnection.

#### 1. はじめに

VLSI の大規模化や、大規模 VLSI の再構成技術の発達などにもとない、ウェーハスタック構造による超並列計算機が実現可能となりつつある。ウェーハスタック構造では、1 つのウェーハに複数の PE (Processing Element) を搭載し、複数のウェーハを重ね合わせて実装する。ウェーハスタックにより超並列計算機を構築する際問題となるのは、ウェーハ間の結線数である。ウェーハ間の配線は、ウェーハ内の配線に比べてレイアウト面積が大きくなるため、いかに配線の数を少なくするかという点が問題となる。ウェーハ間の配線のコストを抑えるには、階層型相互結合網が有効である。

なかでも、階層型相互結合網 TESH (Tori connected mESHes)<sup>1)~3)</sup> は、ウェーハスタック構造に適した結合網として提案されたものである。TESH は、下位階層にメッシュ、上位階層にトーラスを用いることにより、双方の結合網の特長を有しつつ通信の局所性を利用したネットワークである。ウェーハ間の配線数を抑え、かつ通信の局所性を利用することで良好なネットワーク性能を持つ。TESH を用いてマルチプロセッサシステムを実装するためには、デッドロックを回避するために仮想チャンネル<sup>4)</sup> を複数付加する必要がある。このときに必要な仮想チャンネルの数は基本モジュール間リンクの配置の仕方により異なるため、適切な方法によってリンクを配置する必要がある。

本稿では、TESH 上で、少ないホップ数で通信が可能となるような基本モジュール間リンクの配置法を提案する。また、デッドロックフリーを保証するために必要な仮想チャンネルの数を導出し、固定ルーティングによる TESH の通信距離を算出する。さらに、ランダ

<sup>†</sup> 北陸先端科学技術大学院大学情報科学研究科  
School of Information Science, Japan Advanced Institute of Science Technology

<sup>††</sup> 南フロリダ大学  
University of South Florida

ム通信および FFT の通信パターンによるシミュレーションを行い、動的通信性能について検討する。

### 2. 階層型相互結合網 TESH

階層型相互結合網 TESH は三次元 VLSI/ULSI への実装を考慮した結合網である。TESH は、レベル 1 ネットワークをメッシュ状に構成している。これを基本モジュール (BM) とよび、BM 内の各 PE を結合しているリンクを BM 内リンクとよぶ。各 BM は  $2^m \times 2^m$  のサイズで構成される<sup>1)</sup>。本稿では主に  $4 \times 4$  のサイズの BM ( $m = 2$ ) について議論する。 $2^m \times 2^m$  個の下位レベルネットワークをトーラス状に接続して上位レベルネットワークを構成する。上位レベルネットワークを構成するためのリンクをここでは BM 間リンクとよぶ。図 1 に、2 階層の TESH を構成した例を示す。図 1 では、BM 1 つあたり最大 16 本使用できる BM 間リンクのうち 4 本を使用し、全部で 256 個の PE を結合している。3 階層の TESH では、さらに 4 本のリンクを使用して 2 階層の TESH どうしを結合する。この場合、全部で 4096 個の PE を接続することができる。このようにして  $L$  階層の TESH を構成すると、上位階層ネットワークは  $k = 2^m, n = 2(L - 1)$  の  $k$ -ary  $n$ -cube となる<sup>1)</sup>。

各レベルにつき複数組のリンクを設けることも可能である。各レベルにつき  $2^q$  組 (つまり  $4 \times 2^q$  本) のリンクを設けた場合、最大で  $L_{max} = 2^{m-q} + 1$  階層まで設けることができる。パラメータ  $m, L, q$  を用いると、さまざまな種類の TESH を定義することができる。そこで、TESH の種類を表すために TESH( $m, L, q$ ) と表す。なお、TESH( $m, L, q$ ) の PE 数  $N$  は  $N = 2^{2mL}$  となる<sup>1)</sup>。

TESH( $m, L, q$ ) の PE は、式 (1) に示す  $2^m$  進数でアドレス付けされる。

$$n = n_{2L-1}n_{2L-2} \dots n_1n_0$$

$$= (n_{2L-1}n_{2L-2}) \dots (n_1n_0) \tag{1}$$

式 (1) から、 $i$  番目の組である  $(n_{2i-1}n_{2i-2})$  は、レベル  $i - 1$  のサブネットワーク位置となることが分かる。たとえば、 $m = 2$  で 3 階層 TESH (4096 PE) の場合、四進数で  $n = n_5n_4n_3n_2n_1n_0$  のように表現され、 $n_5n_4$  は 3 レベルネットワーク、 $n_3n_2$  は 2 レベルネットワーク、 $n_1n_0$  は BM 内の PE の位置を各々示す。図 1 中の番号は、このようにしてアドレス付けされた 2 レベルネットワーク中の BM のアドレス  $(n_3, n_2)$  を示している。

$n^1 = (n_{2L-1}^1n_{2L-2}^1 \dots n_1^1n_0^1)$  を含む BM と  $n^2 = (n_{2L-1}^2n_{2L-2}^2 \dots n_1^2n_0^2)$  を含む BM が次の条件を

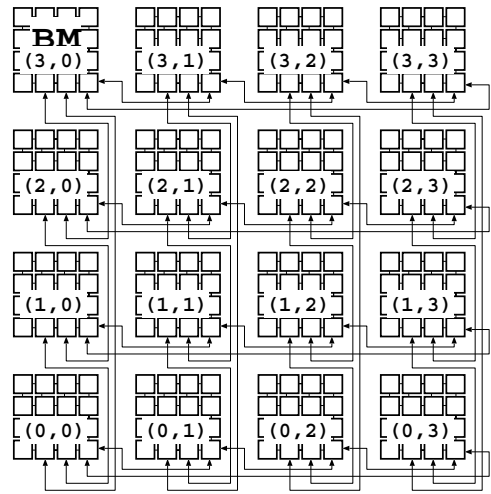


図 1 TESH(2,2,0) の構成例

Fig. 1 A hierarchical interconnection of TESH(2,2,0).

満たしたとき、結合リンクを有する。ただし、 $i, j \geq 2$  とする。

$$\exists i \{ n_i^1 = (n_i^2 \pm 1) \bmod 4$$

$$\wedge \forall j (j \neq i \rightarrow n_j^1 = n_j^2) \} \tag{2}$$

すなわち、 $n^1$  と  $n^2$  を含む BM アドレスの各桁を比較したとき、差が  $\pm 1$  または  $\pm 3$  となる桁が 1 つ存在して残りの桁は同一の値を持つとき、双方の BM は結合リンクを持つ。たとえば、図 1 中の BM(0,0) は、 $n_3 = 0$  で、かつ  $n_2 = 1$  または  $n_2 = 3$  となる BM(0,1) および BM(0,3) と、 $n_2 = 0$  で、かつ  $n_3 = 1$  または  $n_3 = 3$  となる BM(1,0) および BM(3,0) の、あわせて 4 個の BM と接続する。

### 3. ルーティング

#### 3.1 基本モジュール間のリンク配置

BM 間リンクは、各 BM の外周部の PE が持つ。どのレベルのリンクをどの PE に配置するかは自由に決められるが、直径を低く保つことやルーティングを単純化するという観点から、BM の四隅の PE ( $n_1 = \{0, 3\}, n_0 = \{0, 3\}$ ) から出ている 2 本のリンクは同一レベルの 1 組のリンクとして使用することが望ましい。また、BM の側面の PE を使用するときは、ホップ数を少なく保つため隣りどうしの PE から出ているリンクどうしを 1 組とする。

BM の角と側面の PE を使用して固定ルーティングを行う場合、直径を短くするために、BM 内で隣り合う 2 つの PE から出ているリンクを同一レベルの 1 組のリンクとして使用する。さらに、図 2 のようにリンクを上位レベルから下位レベルまで一列に配置す

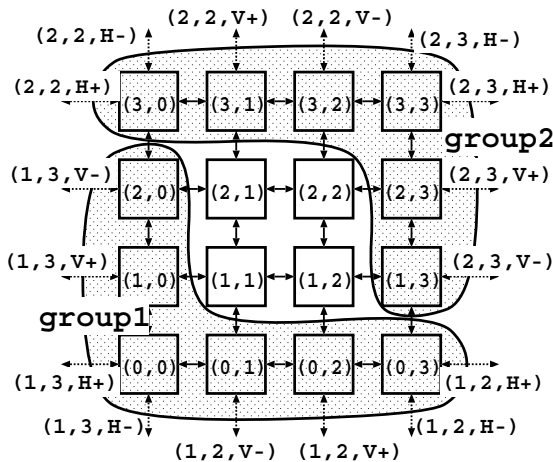


図2 BM間リンクの配置  
Fig.2 A link allocation method at BM.

る。

以下に一列配置の定義について述べる。

- (1) BM間リンクは  $2^q$  組のグループからなり、各グループには  $4 \times (L-1)$  本のリンクがある。
- (2) 各リンクは、グループ番号  $g$  ( $1 \leq g \leq 2^q$ )、レベル番号  $l$  ( $2 \leq l \leq L$ )、次元  $d$  ( $d \in \{V, H\}$ ) および向き  $\delta$  ( $\delta \in \{+, -\}$ ) によって  $(g, l, d\delta)$  とラベル付けされる。
- (3) グループ  $g$  のリンク  $(g, 2, H+)$  およびリンク  $(g, 2, H-)$  は、四隅のいずれかに配置される(以後、これらのリンクが同じ PE に配置されることを「リンク  $(g, 2, H+/-)$  が配置される」と表現する)。
- (4) 各リンクは、リンク  $(g, 2, H+/-)$  を起点として  $l$  の小さい順に BM のまわりを時計回りに  $(g, l, H+/-)$ ,  $(g, l, V+)$ ,  $(g, l, V-)$ ,  $(g, l+1, H+/-)$  の順に配置される。
- (5) 隣接する BM 間は  $(g, l, d+)$  と  $(g, l, d-)$  により結合される。
- (6)  $q \geq 1$  の場合、異なるグループの BM 間リンクは BM の中心点を挟んで点対象に配置される。

なお、文中の向き  $+$  はアドレスが昇順になる向き、向き  $-$  はアドレスが降順になる向きを表しており、次元  $V, H$  は、それぞれ縦方向リンクまたは横方向リンクであることを示している。

図2に、レベル3 TESHにおける BM 間リンクとそのラベルを示す。BM 間リンクの一列配置により、上

位レベルネットワークから下位レベルネットワークへの移動に要するホップ数を低く抑えることが可能となる。さらに、 $q \geq 1$  では、上位レベル間の転送に BM の中心部の PE  $((1,1), (1,2), (2,1), (2,2))$  を使用することがなくなるうに、ルーティングの方向が限定されることから、仮想チャネルの数を低く抑えることが可能となる。

### 3.2 ルーティングアルゴリズム

図2に示すリンク配置における、TESHの固定ルーティングのアルゴリズムについて述べる。

固定ルーティングは、最上位レベル転送から最下位レベル転送まで順に行われる。すなわち、目標となる BM 間リンクまでの転送を行い、BM 間リンクを用いた転送を行うという手順を最上位レベルから順に繰り返す。BM 間リンクを用いた転送は、各レベルで縦方向転送 → 横方向転送という順に行う。最後に、目的の BM に到着したとき、BM 内の目的の PE への転送を行う。BM 内の転送は、 $x$  方向と  $y$  方向それぞれについて  $+$ ,  $-$  の向きがあり、それぞれを  $x+$ ,  $x-$ ,  $y+$ ,  $y-$  と表現する。

$q \geq 1$  の場合、同じレベルの BM 間リンクが複数存在する。その場合は最も近いリンクを選択する。たとえば、図2で BM 内のアドレス  $(2,1)$  にあるペケットを3レベル縦方向リンクへ転送する場合、アドレス  $(2,0)$  から出ているリンクが3レベル縦方向リンクとして最も近いため、まず  $(2,0)$  へ転送する。

TESHにおける固定ルーティングアルゴリズムを図3に示す。ここで、送信元 PE のアドレス  $s$  を  $s_{2L-1}s_{2L-2}...s_1s_0$ 、受信先 PE のアドレス  $d$  を  $d_{2L-1}d_{2L-2}...d_1d_0$  とする。関数  $\text{get\_group\_number}$  は、グループ番号を取得する関数である。関数  $\text{get\_group\_number}$  の引数は、送信元 PE のアドレス  $s$ 、受信先 PE のアドレス  $d$  および、向き  $+/-$  を区別する変数  $\text{routedir}$  となる。関数  $\text{outlet}_x$  および  $\text{outlet}_y$  は、それぞれリンク  $(g, l, d\delta)$  が存在する PE の  $x$  座標および  $y$  座標を取得する関数である。引数は、第1引数から順に  $g, l, d, \delta$  を使用する。

図3のアルゴリズムによる転送例を図4に示す。図2のようにリンクを配置すると、固定ルーティングにより転送を行った場合、送信元 PE からの最初の BM 内転送(図3、図4の(a)の、最初のループにおける BM 内転送)と受信先 PE までの最後の BM 内転送(図3、図4の(c))は、BM 内の中心部のリンクを通過する可能性があるが、それ以外の BM 内転送は BM 周囲のリンクのみを通過する。そこで、仮想チャネル割当ての都合上、これ以降はこれらを分けて

使用する BM 間リンクが8本以内の場合、四隅の PE から出ているリンクのみを使用する方法も考えられるが、本稿では考えない。

Routing Algorithm for a Level-L TESH:

```

Routing(s,d);
source; s={s2L-1,s2L-2,...,s0}; destination;d={d2L-1,d2L-2,...,d0};
tag;t2L-1,t2L-2,...,t0; group;g;

for i = 2L-1:2;
  if (di-si+2m) mod 2m <= 2m/2 then
    routedir = plus; ti = (di-si+2m) mod 2m;
  else routedir = minus; ti = 2m - (di-si+2m) mod 2m; endif;

  g = get_group_number(s,d,routedir);

  while(ti != 0) do
    if i is even number then
      outlet_nodex = outlet_x(g,i/2+1,H,routedir);
      outlet_nodey = outlet_y(g,i/2+1,H,routedir); endif;
    if i is odd number then
      outlet_nodex = outlet_x(g,i/2+1,V,routedir);
      outlet_nodey = outlet_y(g,i/2+1,V,routedir); endif;
    BM_routing(outlet_nodex, outlet_nodey);

    if routedir = plus then send packet to next BM;
    else send packet to previous BM; endif; } (a)

    ti = ti - 1;
  endwhile;
endfor;

BM_routing(d1,d0); } (b)
end.

```

```

BM_routing(dx, dy);
source;sx,sy; destination;dx,dy;
tag;tx,ty;

tx = dx - sx;
ty = dy - sy;
while(ty != 0) do
  if ty > 0 then move packet to upper node; ty = ty - 1; endif;
  if ty < 0 then move packet to lower node; ty = ty + 1; endif;
endwhile;
while(tx != 0) do
  if tx > 0 move packet to right node; tx = tx - 1; endif;
  if tx < 0 move packet to left node; tx = tx + 1; endif;
endwhile;
end.

```

図3 TESHのルーティングアルゴリズム  
Fig.3 Routing algorithm for TESH.

考える。

3.3 デッドロックフリー

TESHでは、チャンネルの循環によるデッドロックが発生する可能性があり、ネットワーク性能の低下の原因となる。デッドロックを回避するために、これまでさまざまな方法が提案されている<sup>5),6)</sup>。本稿ではルーティングに制約を与えない方法として、物理リンクに複数の仮想チャンネルを付加する方法<sup>7)~9)</sup>を適用する。

以下、3.2節で示したルーティングアルゴリズムがデッドロックフリーであることを保証するために必要な仮想チャンネル数について考察する。ここでは仮想チャンネル割当ての都合上、3.2節で示したルーティングアルゴリズムを場合分けする。目的のBM間リンクへ向かうまでのBM内転送(図3の(a))を、ループの最初のイタレーションとそれ以外に分け、さらに目的のBMに到着後の受信先PEまでの最後のBM内転送(図3の(c))を分けて考える。すると、以下の3つのランクに分けることができる。

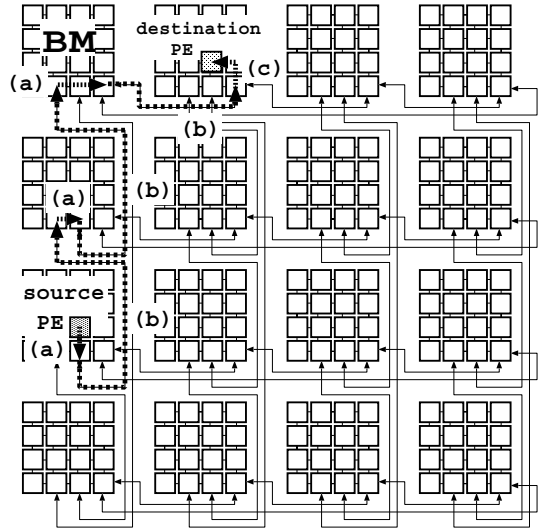


図4 TESHの転送例

Fig.4 An example of routing.

- ランク1 送信元PEから、最初のBM間リンクに到達するまでのBM内転送(図3の(a)の最初のイタレーション)
- ランク2 受信先PEの存在するBMに到達するまでのBM間転送(図3の(a)の残りおよび(b))
- ランク3 受信先PEの存在するBMに到達してから、受信先PEまでのBM内転送(図3の(c))

すると、パケットの転送は

(ランク1)→(ランク2)→(ランク3)

という順序で行われることになる。ランク2についてはトーラスの形状をしているので最低2つのチャンネルを必要とする。ランク1とランク3はメッシュ状をしているので1つのチャンネルでよい。そこで、ランク1の転送用チャンネルとしてチャンネル0、ランク2の転送用チャンネルとしてチャンネル1とチャンネル2、ランク3用としてチャンネル3を割り当てる。

ここで定理1が成り立つ。

定理1 ランク1を、送信元PEから最初のBM間リンクに到達するまでのBM内転送、ランク2を、受信先PEの存在するBMに到達するまでのBM間転送、ランク3を、受信先PEの存在するBMに到達してから受信先PEまでのBM内転送とする。ランク1にチャンネル0、ランク2にチャンネル1とチャンネル2、ランク3にチャンネル3を割り当て、以下の条件でランク2のチャンネルを使い分けるとき、TESHの固定ルーティングはデッドロックフリーとなる。

(条件 1) ランク 1 からランク 2 への移行時にはチャンネル 1 を使用

(条件 2) トーラスのラウンドトリップ時にチャンネル 2 に移動

(条件 3) 各レベルについて、縦方向または横方向転送が終了した時点でチャンネル 1 に移動

証明

図 3 で示したルーティングアルゴリズムによりチャンネルに循環が生じないことを示すため、各チャンネルにチャンネル番号を割り当てる。

パケットの転送は(ランク 1)→(ランク 2)→(ランク 3)という順序で行われることになるため、各ランクごとにチャンネル番号を割り当てればデッドロックフリーが証明されることになる。ランク 1 とランク 3 については、以下のようにチャンネル番号を定める。

$$\left\{ \begin{array}{ll} (0, n_1), & y+ \text{ 方向のチャンネル,} \\ (1, 4 - n_1), & y- \text{ 方向のチャンネル,} \\ (2, n_0), & x+ \text{ 方向のチャンネル,} \\ (3, 4 - n_0), & x- \text{ 方向のチャンネル,} \end{array} \right.$$

なお、 $n_1, n_0$  は、各チャンネルの送信元側 PE アドレスの下位 2 桁を表す。つまり、あるチャンネルが  $PE_n^s$  から  $PE_n^d$  の間を結合するチャンネルなら、 $n_1, n_0$  はそれぞれ  $n_1^s, n_0^s$  となる。また、チャンネル番号は左側が上位の桁になっており、チャンネル番号の大小関係の比較は左側の数字から順に行う。

ランク 2 については、上位レベルチャンネル(ここでは BM 間リンクのチャンネルのほかに同レベル同次元の BM 間リンクの間を結ぶ BM 内チャンネルも含む)のほかに異なるレベル・次元のチャンネル間を結ぶ BM 内チャンネルを持つ。そこで、以下のようにチャンネル番号( $l', c_h, n'$ )を割り当てる。

ここで

$$l' = \left\{ \begin{array}{ll} (L-l) \times 4, & \text{レベル } l \text{ 縦方向の} \\ & \text{上位レベルチャンネル,} \\ (L-l) \times 4 + 1, & \text{レベル } l \text{ 縦方向のリンクと} \\ & \text{レベル } l \text{ 横方向リンクを結} \\ & \text{ぶ BM 内のチャンネル,} \\ (L-l) \times 4 + 2, & \text{レベル } l \text{ 横方向の} \\ & \text{上位レベルチャンネル,} \\ (L-l) \times 4 + 3, & \text{レベル } l \text{ 横方向リンクと} \\ & \text{レベル } l-1 \text{ 縦方向リンク} \\ & \text{を結ぶ BM 内のチャンネル,} \end{array} \right.$$

$c_h =$ ( 使用した仮想チャンネル )

( 1 : チャンネル 1 , 2 : チャンネル 2 )

$l'$  は、レベルや次元が変わるごとに番号が昇順に変わる。また  $c_h$  は、各次元においてトーラスのラウンドトリップ時に番号が上昇する。

次に  $n'$  は、番号が昇順になるように各 PE のアドレス番号または全 PE 数  $N$  に対するアドレス番号の補数を割り振る。アドレス番号として、2 章で定義したアドレス  $n$  を使用した場合、ルーティングに従ってアドレスが単調増加するためには  $V+$  が  $V-$  よりも右または上にある必要があるが、実際には BM の左側面と上側面では、前者が後者の左または下にあるため、アドレスの一部を付け換えた新アドレス  $\nu$  を導入する。ここで用いられるアドレス  $\nu$  は、2 章で定義されたアドレス  $n$  について、 $n_1 = 3 \wedge n_0 = 1, 2$  となる PE ( BM の上側面の PE ) の  $n_0$  を  $4 - n_0$  に置き換え、 $n_0 = 0 \wedge n_1 = 1, 2$  となる PE ( BM の左側面の PE ) の  $n_1$  を  $4 - n_1$  に置き換えてつけられるアドレスである。このようにして  $\nu$  を定めると、BM 中の PE(1,0) と PE(2,0), PE(0,1) と PE(0,2) のアドレスがそれぞれ置き換わる。

以上により、 $n'$  は以下のように定められる。

$$n' = \left\{ \begin{array}{ll} \nu, & V+ \text{ 方向, または} \\ & H+ \text{ 方向のチャンネル,} \\ N - \nu, & V- \text{ 方向または} \\ & H- \text{ 方向のチャンネル,} \end{array} \right.$$

以上のようにチャンネルの番号を定めると、ルーティングに従って単調にチャンネル番号が増加するため、デッドロックフリーが証明される。□

TESH(2,3,1) の場合、必要なチャンネル数は図 5 のようになる。図 5 に示される数字が、必要な仮想チャンネルの数である。図 5 において、(A) のリンクではランク 1・ランク 3 で 1 つずつチャンネルを使用し、ランク 2 で 2 つのチャンネルを使用することになる。また、(B) の部分でランク 1, ランク 3 およびランク 2 の 1 つのチャンネルを使用することになるため、合わせて 3 つのチャンネルが 1 つの物理リンクを共有することになる。

#### 4. 最大ホップ数

3.2 節で示したルーティングを行ったときの TESH の通信性能を評価するため、 $m = 2$  の場合について、BM 間リンクを一列配置したときの TESH の最大ホップ数を導出する。TESH の最大ホップ数  $D_{\text{TESH}(m,L,q)}$  は、以下のように 4 ステップから導出できる。

(1) 送信元 PE を出発したパケットは、最初リンク  $(g, L, V+/-)$  を通過する。これらは一列配置

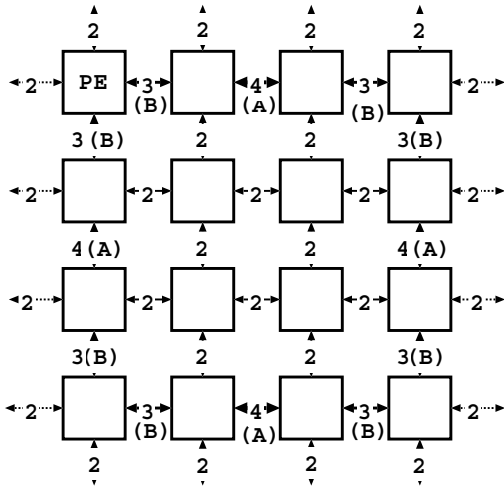


図5 TESHの最大仮想チャネル数

Fig.5 Number of required virtual channels for TESH.

の定義3および定義4により、必ずBMの辺にある(四隅にはない)。特に  $q = 2$  では、どのPEにも隣接して  $(g, L, V + /-)$  が存在する。したがって、送信元PEからレベル  $L$  の基本モジュール間リンクに到達するまで(図3(a)の最初のループに相当)の転送回数  $D_1$  は

$$D_1 = \begin{cases} 5, & \text{for } q = 0, \\ 3, & \text{for } q = 1, \\ 1, & \text{for } q = 2, \end{cases} \quad (3)$$

となる。

- (2) 上位階層は  $4 \times 4$  のトーラスを構成しているので、各レベルのBM間リンクにおける最大転送回数は縦横両方合わせて  $2 + 2 = 4$  となる。ただし、縦方向では中継BMで1回だけBM内転送が含まれるので、各レベルにおいてBM間を移動するために必要な転送回数  $D_2$  は、

$$D_2 = 2 + 2 + 1 = 5, \quad (4)$$

となる。

- (3) 各レベルの転送の間に行われるBM内転送の回数  $D_3$  は(縦方向)  $\rightarrow$  (横方向)と(横方向)  $\rightarrow$  (次のレベルの縦方向)でそれぞれ2回ずつとなるので

$$D_3 = 2, \quad (5)$$

となる。

- (4) 目的の基本モジュールに到達した後の、目的PEまでの転送回数  $D_4$  は、レベル2の横方向基本モジュール間リンクが四隅にあるので

$$D_4 = 6, \quad (6)$$

となる。

表1 TESHの最大ホップ数

Table 1 Maximum number of hops of TESH.

PE数	結合網	格子サイズ	ホップ数	次数
256	2D メッシュ	$16 \times 16$	30	4
	2D トーラス	$16 \times 16$	16	4
	3D メッシュ	$8 \times 8 \times 4$	17	6
	ハイパーキューブ	$2^8$	8	8
	TESH(2,2,2)		14	4
4096	2D メッシュ	$64 \times 64$	126	4
	2D トーラス	$64 \times 64$	64	4
	3D メッシュ	$16 \times 16 \times 16$	45	6
	ハイパーキューブ	$2^{12}$	12	12
	TESH(2,3,1)		25	4

$L$  レベルのTESHでは、 $D_2$ の転送が  $L-1$ 回、 $D_3$ の転送がレベル2で1回、レベル3以上で2回の合わせて  $2(L-2) + 1 = 2L-3$  回起こるので、TESHの最大ホップ数は

$$D_{\text{TESH}(m,L,q)} = D_1 + D_2 \times (L-1) + D_3 \times (2L-3) + D_4 \quad (7)$$

となる。

表1に、TESHの各パラメータと最大ホップ数の関係およびメッシュの最大ホップ数を示す。表1より、ハイパーキューブを除く他の結合網に比べてTESHのホップ数やリンク次数が小さくなっていることが分かる。ハイパーキューブはホップ数でTESHに勝るが、リンク次数が大きくなる。

### 5. シミュレーションによる通信性能評価

#### 5.1 シミュレーション条件

4096 PE からなる TESH(2,3,1) ネットワーク上でシミュレーションによる動的通信性能の評価を行う。TESH(2,3,1)の基本モジュール間リンクは、図2に示すように、グループ1とグループ2の2組のBM間リンクを持つ。

シミュレーションは、TESH(2,3,1)およびメッシュ結合について行う。メッシュは、Y方向 X方向の順にアドレスを合わせる次元順ルーティング<sup>10)</sup>によりデッドロックを回避する。なおシミュレーションは、ランダム通信と特定の通信パターンが必要なFFTおよび最大値問題の3種類で行う。

本実験では、TESH(2,3,1)を使用するため、最大仮想チャネル数は4となる。メッシュの仮想チャネル数は1または4としている。パケットの転送方式はワームホールルーティング<sup>10)</sup>とし、サイズの大きなメッセー

メッシュ、トーラスおよびハイパーキューブは、最もよく用いられる次元順ルーティング<sup>10)</sup>による最大ホップ数を想定して評価しているが、それ以外の方法でも最短距離を通るルーティング法ならば最大ホップ数は同じになるため、同様に評価できる。

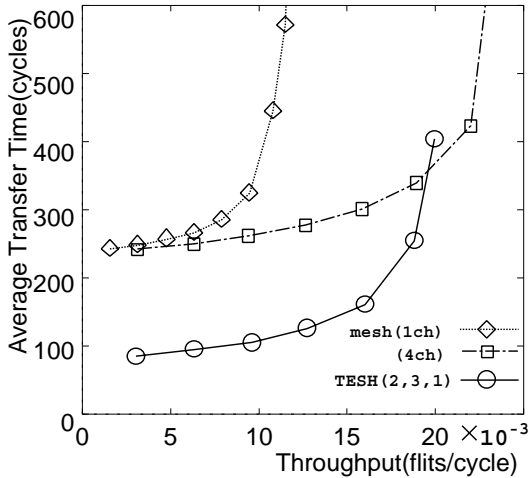


図6 ランダム通信の平均転送時間

Fig. 6 Average transfer times for random communications.

ジなども1つのパケットで転送できるものとしている。なお、仮想チャネルのアービトレーション法はラウンドロビンとした。

### 5.2 ランダム通信

各PEで、パケットの発生確率を変えながら、受信先PEをランダムとしたパケットを送信したときの平均転送時間を図6に示す。転送時間は、パケットの先頭が送信元PEを出発してから最後尾が受信先PEに到着するまでの時間である。本実験では、20000サイクルの間に送信したフリット数を比較している。なお、パケット長は18フリット(うち、2フリットはヘッダ)としている。

図6で、横軸はスループット、縦軸は転送時間である。図6より、低スループットの部分ではTESH(2,3,1)の平均転送時間はメッシュの半分以下となる。これは、TESH(2,3,1)のホップ数がメッシュに比べて短いためである。また、TESH(2,3,1)はチャンネル数1のメッシュと比較すると負荷が飽和する点でのスループットが高くなる。チャンネル数4のメッシュに対してはスループットは低いが、その差は小さい。

### 5.3 FFT

高速フーリエ変換(FFT)の持つ通信パターンをシミュレータ上に再現して、実行時間をシミュレーションにより測定する。FFTは、データ数 $d$ に対して $\log d$ 回のパタフライ演算を行う。その際、 $k$ 回目の演算は $2^{k-1}$ 離れたデータとの間で行う。そこで、 $N$ 個( $N < d$ )のPEに、 $2^{p-1}$  ( $p > \log N$ )個離れたデータどうしが同じPEに位置するようにデータを配置すれば、通信の回数は $\log N$ 回となる。この場合、

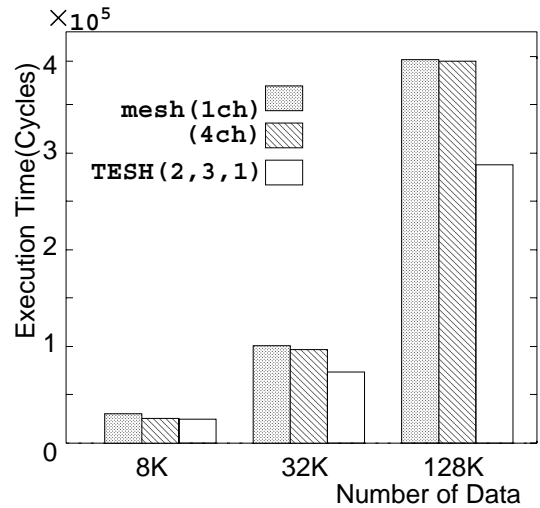


図7 TESHとメッシュ上でのFFTの実行時間

Fig. 7 Execution times of TESH and meshes for FFT.

通信のパターンが局所性を持つ。なお、本実験では、パタフライ演算に要する時間および通信の前後処理に要する時間を220サイクル、通信先PEの計算および通信の前後処理に要する時間を240サイクル、1つのFFTデータにつき64バイトの長さを持つものとして実験を行った。

TESHおよびメッシュ上でFFTをシミュレートしたときの、データ数に対する実行時間を図7に示す。図7より、TESH(2,3,1)における実行時間は、メッシュの場合と比較して短縮されている。チャンネル数1のメッシュとチャンネル数4のメッシュを比較すると後者はブロックを回避できる分実行時間も短くなる。ランダム通信では、高スループットの領域でチャンネル数4のメッシュに比べて通信性能がやや悪くなるが、FFTはチャンネル数4のメッシュと比較してもデータ数にかかわらず実行時間が短くなる。FFTでは、メッシュ上では1つのステージで最大64個のパケットが1つのリンクを取り合うことになるが、TESH(2,3,1)では最大でも32個であり、通信距離もメッシュで最大ホップ数が32に対してTESH(2,3,1)では最大10となる。このように、リンクの混雑の度合いと通信距離がともに少なくなるため、TESH上でFFTを実行した場合メッシュよりも高速に実行できる。

### 5.4 最大値問題

最大値問題の通信パターンをシミュレーションし、実行時間を測定する。最大値問題は、各PEに置かれたデータの値を比較して、大きい方の値を他のPEに送るという処理を繰り返す。本実験では、 $c$ 回目の比較を $2^{c-1}$ 離れたPEどうしで行うと仮定し、4096PE

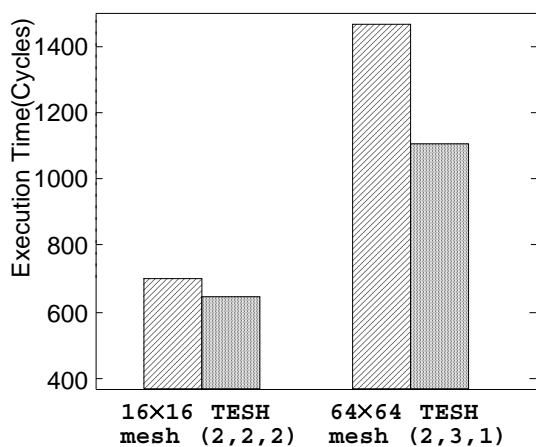


図 8 最大値問題の実行時間

Fig. 8 Execution time for max-min.

の場合 12 回, 256 PE の場合 8 回の転送を行っている。各回の通信先のアドレスは FFT の場合と同じになるが, 最大値問題の場合, 大きい方の値のみを転送すれば十分なので, パケットどうしのブロッキングは少なくなる。なお, 本実験では, パケット長を 18 フリット, 値の比較に 40 サイクルを要すると仮定して実験を行っている。

実験結果を図 8 に示す。図 8 より, TESH とメッシュの実行時間に差が見られる。最大値問題の場合も FFT の場合と同様に, 通信距離の長くなるメッシュより TESH の方が実行時間が短い。また, 256 PE を持つ  $16 \times 16$  メッシュと TESH(2,2,2) の実行時間の差と, 4096 PE を持つ  $64 \times 64$  メッシュと TESH(2,3,1) の実行時間の差を比較した場合, 後者の差の方が大きくなる。このように, より多くの PE を多階層で構成した TESH の方がメッシュと比較した性能差は大きなものとなる。これは, PE 数の多い高階層の TESH ほど, メッシュに比した TESH のネットワーク距離が小さくなるという理由によるものである。

## 6. ま と め

階層型相互結合網 TESH におけるデッドロックフリールーティングを提案し, ホップ数および仮想チャネル数を抑えるための通信アーキテクチャについて検討した。TESH において基本モジュール間のリンクを一行に並べる方法により必要な仮想チャネル数が 4 であることを証明した。さらに, シミュレーションにより動的通信性能についての評価を行った。その結果, TESH(2,3,1) はメッシュに比べて良好な通信性能を示すことを示した。

今後は, チャネルの割当て方についてさらに検討す

るとともに, TESH の適応ルーティング法について検討する。

謝辞 本研究の一部は, 文部省科学研究助成: 基盤研究(B)を用いて行われた。関係各位に感謝する。

## 参 考 文 献

- 1) Jain, V.K., Ghirmai, T. and Horiguchi, S.: TESH: A New Hierarchical Interconnection Network for Massively Parallel Computing, *IEICE Trans.*, Vol.E80-D, No.9, pp.837-846 (1997).
- 2) Jain, V.K., Ghirmai, T. and Horiguchi, S.: Re-configuration and Yield for TESH: A New Hierarchical Interconnection Network for 3-D Integration, *IEEE Proc. International Conference Wafer Scale Integration*, pp.288-297 (1996).
- 3) Jain, V.K. and Horiguchi, S.: VLSI Considerations for TESH: A New Hierarchical Interconnection Network for 3-D Integration, *IEEE Trans. Very Large Scale Integration (VLSI) Systems*, Vol.6, No.3, pp.346-353 (1998).
- 4) Dally, W.J.: Virtual-Channel Flow Control, *IEEE Trans. Parallel and Distributed Systems*, Vol.3, No.2 (1992).
- 5) Duato, J.: A New Theory of Deadlock-Free Adaptive Routing in Wormhole Networks, *IEEE Trans. Parallel and Distributed Systems*, Vol.4, No.12, pp.1320-1331 (1993).
- 6) Glass, C.J. and Ni, L.M.: Maximally Fully Adaptive Routing in 2D Meshes, *ISCA92*, pp.278-287 (1992).
- 7) Merlin, M.P. and Schweitzer, J.P.: Deadlock Avoidance in Store-and-Forward Networks - 1: Store and Forward Deadlock, *IEEE Trans. Comm.*, Vol.COM-28, No.3, pp.345-354 (1980).
- 8) Linder, D.H. and Harden, J.C.: An adaptive and fault tolerant wormhole routing strategy for k-ary n-cubes, *IEEE Trans. Computers*, Vol.C-40, No.1, pp.2-12 (1991).
- 9) Dally, W.J. and Seitz, C.L.: Deadlock-Free Message Routing in Multiprocessor interconnection Networks, *IEEE Trans. Computers*, Vol.C-36, No.5, pp.547-553 (1987).
- 10) Ni, L.M. and McKinley, P.K.: A Survey of Wormhole Routing Techniques in Direct Networks, *Proc. IEEE*, Vol.81, No.2, pp.62-76 (1993).

(平成 11 年 9 月 1 日受付)

(平成 12 年 2 月 4 日採録)



三浦 康之(学生会員)

昭和 48 年生。平成 9 年東北大学工学部機械知能工学科卒業。平成 11 年北陸先端科学技術大学院大学情報科学研究科博士前期課程修了。現在同大学院情報科学研究科博士後期課程在学中。並列システムに関する研究に従事。



堀口 進(正会員)

昭和 51 年東北大学工学部通信工学科卒業。昭和 56 年同大学院博士課程修了。昭和 57 年同情報工学科助手。昭和 60~61 年 IBM ワトソン研究所客員研究員。昭和 64 年同助教授。平成 4 年北陸先端科学技術大学院大学情報科学研究科教授。この間、並列処理、超並列システム、ウェーハ規模集積システム、並列アルゴリズム、マルチメディア統合システムに関する研究を行う。IEEE シニア会員、電子情報通信学会各会員。



Vijay K. Jain

1966 年ミシガン州立大学 Ph.D. 現在、南フロリダ大学電気工学科教授。南フロリダ大における DARPA プロジェクトのアーキテクチャ、アプリケーション、および設計グループのリーダー。並列処理システム、相互結合網、VLSI/WSI 設計、高速信号・画像処理、デジタル通信に関する研究を行う。IEEE シニア会員。

